

# 对MIMO通信系统中的三种译码算法的分析

刘佳豪

## 摘要

参照文献[1],先在C++上实现V-BLAST算法, SQRD算法以及QRD算法,然后在C++上利用Monte Carlo仿真产生满足列向量元素独立同分布的信道传输矩阵 $\mathbf{H}$ ,信息向量 $\mathbf{c}$ 以及高斯白噪声 $\mathbf{v}$ 计算在噪声方差 $\sigma^2$ 不同情况下三种方法各自的误码率BER。最后利用Matlab画出 $BER - \frac{E_b}{N_0}$ 曲线,比较可得各种算法性能上的优劣程度。

关键词: V-BLAST      SQRD      QRD      Monte Carlo Simulation

## 1 问题描述

在文献[1]中,作者提出了一种新的基于QR分解的信息挑选算法:有序QR分解算法。让 $\mathbf{c} = (\mathbf{c}_1, \mathbf{c}_2 \dots \mathbf{c}_{n_T})^T$ 表示BPSK已调信息,那么相应的接收信息向量 $\mathbf{x} = (\mathbf{x}_1, \mathbf{x}_2 \dots \mathbf{x}_{n_R})^T$ 可以表示如下:

$$\mathbf{x} = \mathbf{H} \cdot \mathbf{c} + \mathbf{v} \quad (1)$$

其中向量 $\mathbf{v} = [v_1, v_2 \dots v_{n_R}]^T$ 描述了噪声对于 $n_R$ 个接收天线的干扰,假设噪声为高斯白噪声。由于调制信号已经被归一化,所以平均每比特所接收到的能量为1。而对于 $n_R \times n_T$ 矩阵 $\mathbf{H}$  ( $n_R \geq n_T$ ):

$$\begin{pmatrix} h_{11} & \dots & h_{1n_T} \\ \vdots & \dots & \vdots \\ h_{n_R 1} & \dots & h_{n_R n_T} \end{pmatrix}$$

表征信息在传输过程中的衰减程度。元素 $h_{ji}$ 描述了接收天线j所接收到的来自发送天线i的信息的百分比。矩阵 $\mathbf{H}$ 中的第i列元素 $\mathbf{h}_i$ 可以看成是单输入(单一发射天线i)多输出(接收天线j=1,..., $n_R$ )的通信系统。理想情况下,我们都

希望不同信道之间互不干扰，换言之，我们希望已知的信道传输矩阵可以表示成

$$\mathbf{H} = \begin{pmatrix} \mathbf{R} \\ \mathbf{O} \end{pmatrix}$$

其中 $\mathbf{R}$ 为对角阵。在这种情况下，向量 $\mathbf{x}$ 与向量 $\mathbf{c}$ 之间满足如下关系：

$$\begin{cases} x_1 = h_{11}c_1 \\ \dots \\ x_{n_T} = h_{n_T n_T}c_{n_T} \\ \dots \\ x_{n_R} = 0 \end{cases}$$

这样的话，我们可以非常方便的解调出发送信号。实际上，SQRD分解正是基于这种原理来解调出发送信号的。我们将在第二部分详细分析论文[1]的SQRD算法。

## 2 算法理论分析

### 2.1 V-BLAST算法

上一部分我们已经说明实际应用场景中传输信号之间存在相互干扰，因而在实际得到的解向量 $\mathbf{x}$ 中的每个元素都含有其他天线所发送的信息。论文[1]采用了迫零算法(Zero-forcing)来抵消这些干扰：通过构造矩阵 $\mathbf{H}$ 的伪逆矩阵

$$\mathbf{G} = \mathbf{H}^+ = (\mathbf{H}^H \mathbf{H})^{-1} \mathbf{H}^H \quad (2)$$

通过数学上的分析我们可以知道矩阵 $\mathbf{G}$ 中的行向量 $\mathbf{g}_i$ 满足条件

$$(\mathbf{g}^i)^T \cdot \mathbf{h}_l = \begin{cases} 1 & l = i \\ 0 & l \neq i \end{cases} \quad (3)$$

在 $\mathbf{x} = \mathbf{H}\mathbf{c} + \mathbf{v}$ 两边同时乘以矩阵 $\mathbf{G}$ ，我们可以得到

$$\mathbf{y} = \mathbf{c} + \tilde{\mathbf{v}} \quad (4)$$

这里 $\tilde{v}_i = \mathbf{g}^i \cdot \mathbf{v}$ 用以表示实际的噪声误差。这样一来，只要想办法去掉噪声干扰，我们就可以得到 $c_i$ 与 $y_i$ 的一一映射关系。下一步就是通过所谓的量化函数 $Q$ 来对噪声进行量化。于是信号 $i$ 可以由下式进行估计

$$\hat{c}_i = Q[y_i] = \begin{cases} 1 & y_i > 0 \\ -1 & y_i \leq 0 \end{cases} \quad (5)$$

求出信号 $i$ 后,还要将其对其他信号所造成的干扰从接收到的向量 $x$ 中去除掉:

$$\mathbf{x}_{i+1} = \mathbf{x}_i - \mathbf{h}_i \cdot \hat{\mathbf{c}}_i \quad (6)$$

接下来再继续求解其他天线发出的信息时, 由于已经解调出的信号 $i$ 对其他信号已经没有干扰, 因此, 我们可以将 $\mathbf{h}_i$ 置零。使用文献[2]中所引用的标号 $\mathbf{H}_{i+1} = \mathbf{H}_i^{\bar{i}}$ 来表示一个等效的具有 $n_T - i$ 根发射天线, $n_R$ 根接收天线的MIMO系统。这样, 就可以根据新的信道矩阵 $\mathbf{H}_{i+1}$ 来求解其他信号。

为了使算法更加有效, 减小求解出错概率。文献[1]采用优先挑选出信噪比SNR最大的信号。这是因为这类信号最易提取而且它对于其他信号的干扰最大。通过文献[2]可以知道, SNR与 $\mathbf{g}^i$ 的二范数的平方成反比, 因此, 解调出的信号其对应列向量 $\mathbf{g}^i$ 的二范数依次递增。这里在求解矩阵 $\mathbf{G} = [\mathbf{g}_1, \mathbf{g}_2, \dots, \mathbf{g}_{n_R}]$ 时, 注意到

$$(\mathbf{H}^H \mathbf{H}) \cdot [\mathbf{g}_1, \mathbf{g}_2, \dots, \mathbf{g}_{n_R}] = \mathbf{H}^H \quad (7)$$

因此, 我们可以利用高斯消元法通过求解 $n_R$ 次线性方程组 $(\mathbf{H}^H \mathbf{H}) \cdot \mathbf{g}_i = \mathbf{H}^H$ 来得到矩阵 $\mathbf{G}$ 。用C++代码实现的V-BLAST算法请参见附录。

## 2.2 无排序QR分解算法

V-BLAST算法的局限之处在于算法复杂度较高, 因为需要求解 $\mathbf{H}$ 的伪逆矩阵。而即使使用高斯消元, 仍然会有 $O(n^3)$ 的算法复杂度。而对于一个 $m \times n$ 的矩阵, 利用QR分解的计算复杂度是为 $O(mn^2)$ , 一定程度地降低了算法复杂度。而且由于矩阵 $\mathbf{Q}$ 为正交矩阵, 所以满足 $\mathbf{Q}^H \cdot \mathbf{Q} = \mathbf{I}$ , 因此, 我们又可以构造 $\mathbf{y}$ 与 $\mathbf{c}$ 之间的一个线性关系

$$\mathbf{y} = \mathbf{R} \cdot \mathbf{c} + \boldsymbol{\eta} \quad (8)$$

尽管此时的系数矩阵 $\mathbf{R}$ 只是上三角形矩阵而不是对角阵, 但是在求解 $\mathbf{c}$ 时仍然较为方便。矩阵 $\mathbf{R}$ 中的元素 $r_{ij}$ 表征了信号 $i$ 和信号 $j$ 之间的相关性。因此,

$$d_k = \sum_{i=k+1}^{n_T} r_{ki} \cdot c_i \quad (9)$$

表征了其他信号对于信号 $k$ 的总干扰程度。从 $y_k$ 中剔除掉 $d_k$ , 我们可以得到

$$y_k = r_{kk} \cdot c_k + \eta_k \quad (10)$$

这样的话，利用量化函数 $Q$ 进行量化可以得到信号 $n_T$ 的估计值为:

$$c_{n_T} = \hat{Q}\left[\frac{y_{n_T}}{r_{n_T n_T}}\right] \quad (11)$$

同理，为了使算法更加稳定，每次选出来的信号同样满足信噪比SNR最大的原则。根据文献[1]的分析，SNR最大等价于在修正的施密特正交化QR分解方法的基础上找到使 $\|\mathbf{q}_l\|^2$ 最大的 $l$ 。但是，如果每解调一次信号寻就进行一次排序的话，需要的算法复杂度为 $O(n_T^3)$ 。为了降低计算复杂度，下面分析有排序的QR算法。

### 2.3 有排序的QR算法

这种算法的创新之处在于每次对矩阵 $\mathbf{H}$ 进行QR分解之前，首先选出使 $\|\mathbf{q}_l\|^2$ 最小的 $l$ ，并将其放在Q矩阵的左列。也就是说，当矩阵 $\mathbf{H}$ 完成QR分解的时候，所得到的 $\mathbf{R}$ 矩阵具有如下特点：

$$R = \begin{bmatrix} r_{11} & \dots & r_{1n} \\ \cdot & r_{22} \dots & r_{2n} \\ r_{n1} & \dots & r_{nn} \end{bmatrix}$$

其中 $r_{nn} > r_{n-1n-1} > \dots > r_{11}$ 。采用后项代入法，每次解出来的信号 $k$ 所对应的 $r_{kk}$ 都大于待解调信号所对应的 $r_{ii} (1 \leq ii \leq k-1)$ 。换言之，我们达到了使每次解调出来的信号的SNR最大的目的。而这有助于提高译码的稳定性。

### 3 算法验证

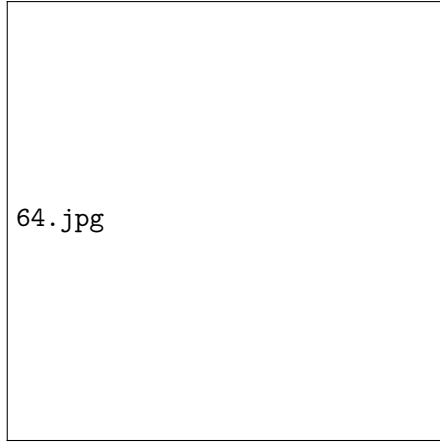


图 1:  $n_T = 8, n_R = 12$ 根天线,BPSK调制, $E_b = 1$ 条件下的仿真

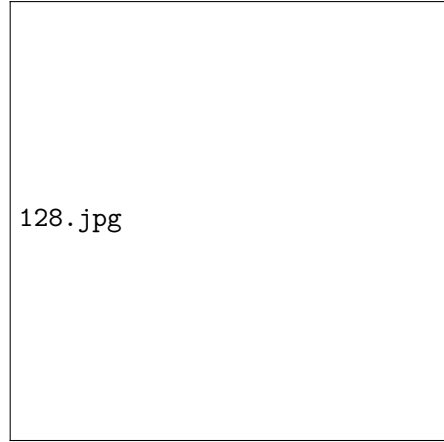


图 2:  $n_T = 4, n_R = 6$ 根天线,BPSK调制, $E_b = 1$ 条件下的仿真

在图1和图2我们可以看到，随着噪声比的增加，QRD算法明显不如SQRD和V-BLAST算法，而SQRD却仍然与V-BLAST算法在误码率上相差不大，由于SQRD在计算过程中使用了QR分解，相较于V-BLAST算法求伪逆，虽然牺牲了部分精度，但在计算复杂度上有所减小。

### 4 参考文献

- [1]D. Wubben,J.Rinas,R.Bohnke,V.Kuhn and K.D. Kammeyer, "Efficient Algorithm for Detecting Layered Space-Time Codes"
- [2]P. W. Wolniansky, G. J. Foschini, G. D. Golden, and R. A. Valenzuela, "V-BLAST: An Architecture for Realizing Very High Data Rates Over the Rich-Scattering Wireless Channel," in IEEE Proceedings of ISSSE-98, Pisa, Italy, 29. September 1998.

## 5 附录

1.jpg

2.jpg

5.jpg

6.jpg

9.jpg

10.jpg



13.jpg

14.jpg